

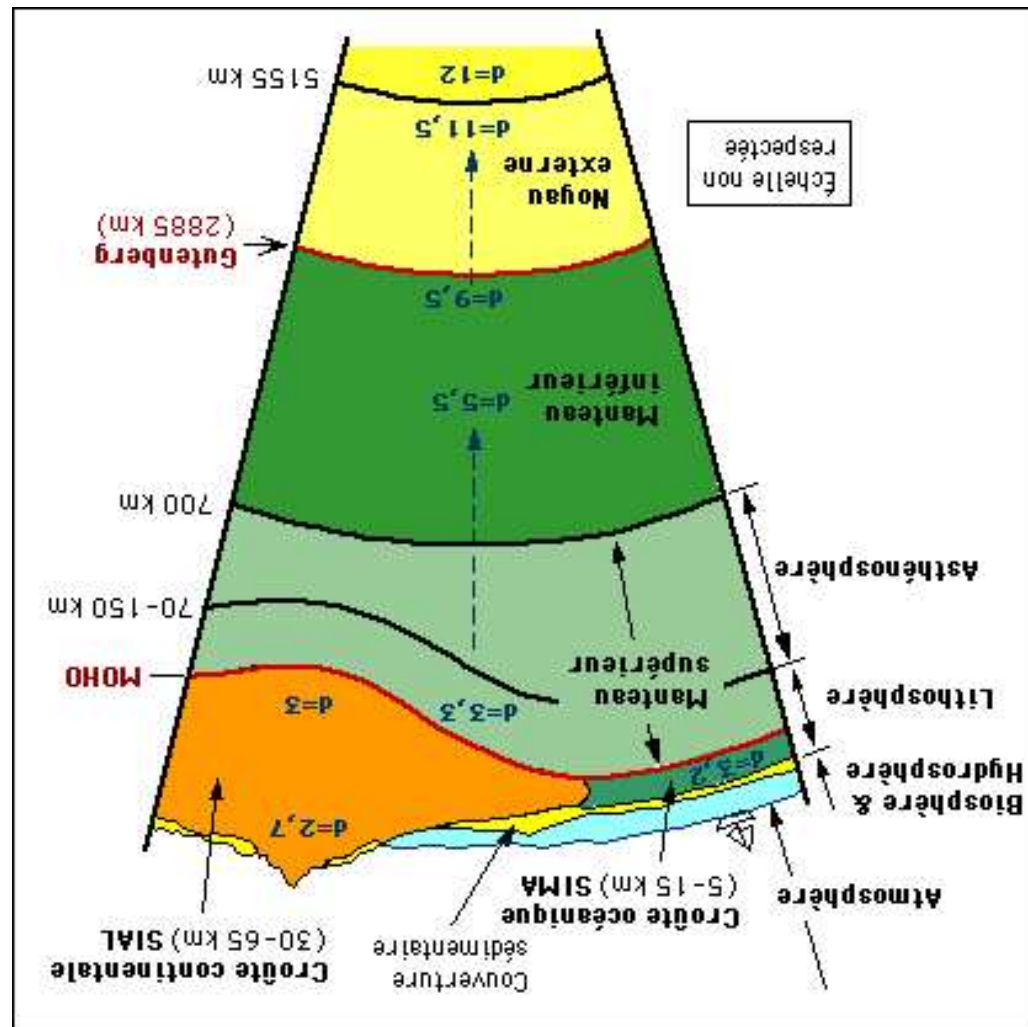
juillet 1999

Thomas LEDUC

**Modélisations par réseaux d'automates cellulaires et
simulations parallèles du phénomène de subduction-érosion
en tectonique des plaques**

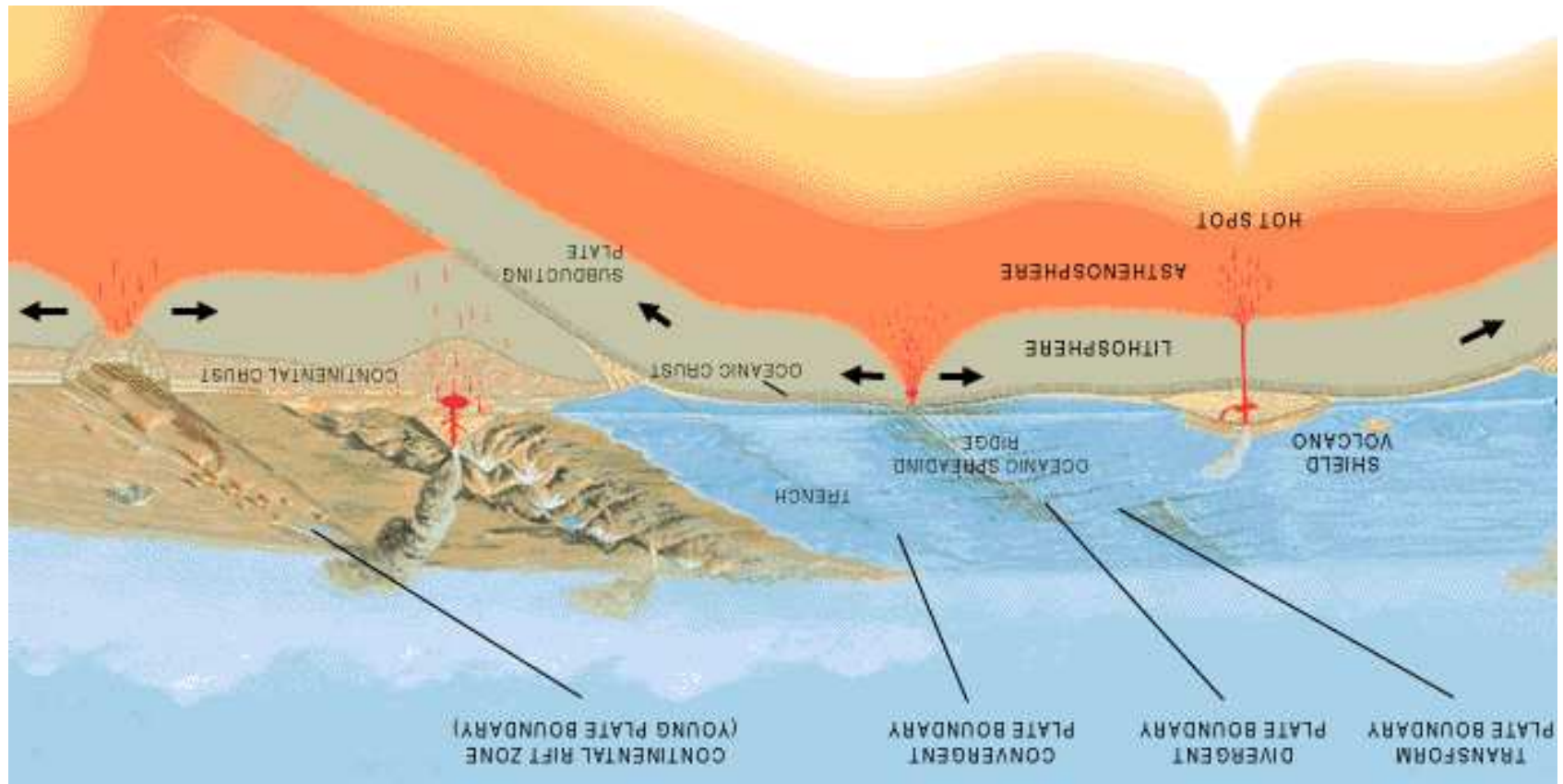
- ☞ concision et évolutions.
- ☞ résultats et performances,
- ☞ présentation des simulations et de leurs optimisations parallèles,
- ☞ présentation des modèles,
- ☞ choix d'une modélisation discrète et SPM,
- ☞ rappels sur la tectonique des plaques,

Contenu de l'exposé

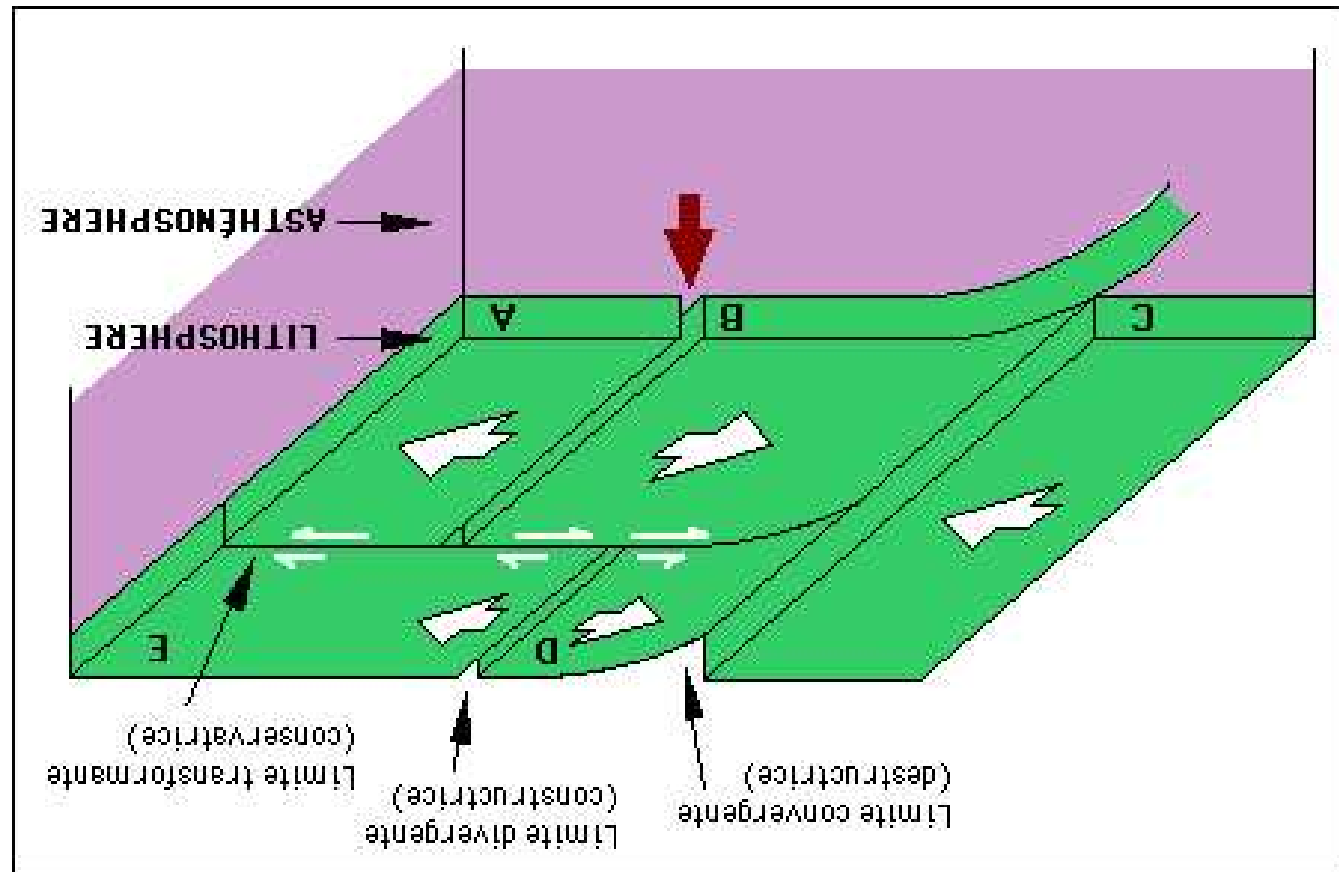


Le contexte géotectonique

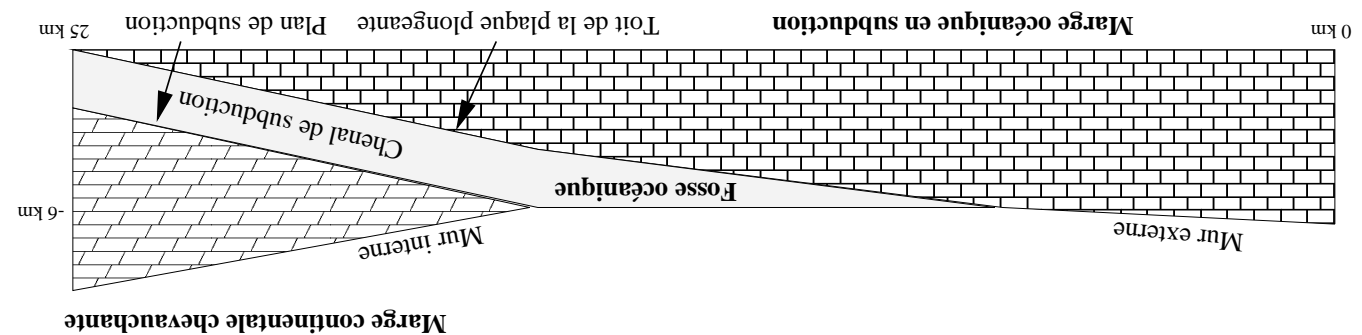
Le globe terrestre est une structure stratifiée . . .



← composée d'une multitude de calottes sphériques : les plaques . . .



en mouvement permanent . . .



cas particulier d'une subduction de marge océanique sous une marge continentale,

- ↳ L'existant en matière de modélisation : simulations analogiques
- ↳ expérimentales et simulations numériques avec résolution d'EDP par éléments finis. But : satisfaire des critères de similarité physique.
- ↳ Problèmes :
- ↳ transferts d'échelles et aspects thermiques,
- ↳ indications à petites échelles sur l'épaisseur ou l'amincissement.
- ↳ Comportement de *milieu*, pas de prise en compte des individualités.
- ↳ modélisation par systèmes dynamiques discrets. La conjonction de règles élémentaires locales engendre des comportements d'ensemble complexes :
- ↳ modélisation de la convection par une méthode LGA,
- ↳ modélisations en sismologie, en érosion de terrain. . .

L'existant vs. notre stratégie de modélisation

parallelisme
synchronisation
uniformité
localité

← réseau d'automates cellulaires : juxtaposition d'une même règle de transition, selon un mode opératoire synchrone, sur des cellules placées aux sommets d'un graphe simple orienté, connecté et d- régulier,

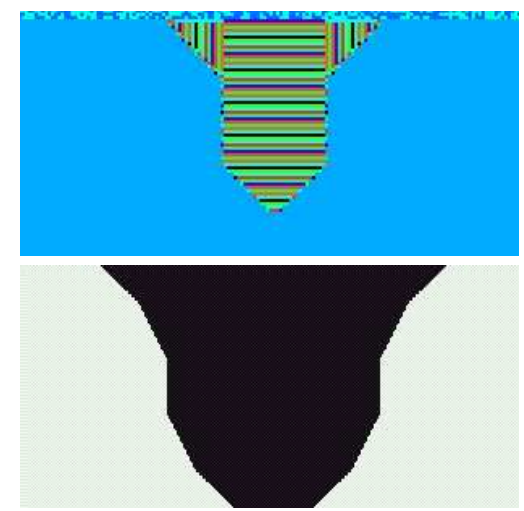
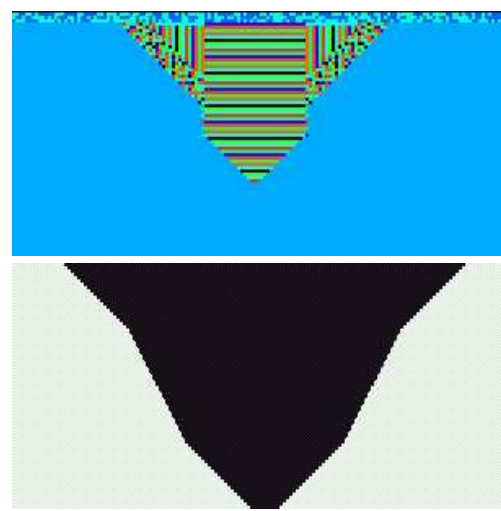
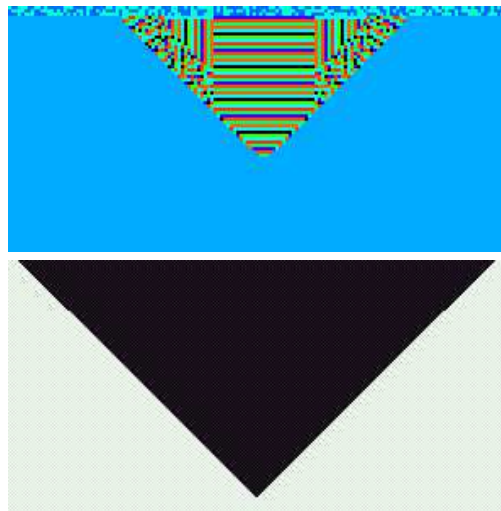
$$C_{t+1}^j = C_t^j - \mathbb{I}(C_t^j - C_{t-1}^j) - \mathbb{I}(C_t^j - C_{t+1}^j) + \mathbb{I}(C_{t-1}^j - C_t^j) + \mathbb{I}(C_{t+1}^j - C_t^j)$$

- ◀ étendu au cas bi-dimensionnel :
- ◀ physique de l'état granulaire (Bak, Tang et Wiesenfeld - 1980), d'automates cellulaires, résau d'automates cellulaires en ligne,
- ◀ grille régulière en 2 dimensions (avec attributs de nature et de couleur pour chaque automate), un automate correspond à une hauteur de pile de sable,
- ◀ loi de transition plus complexe à écrire puisque fonction d'un voisinage plus grand (voisnage de Moore étendu),

$$\text{avec : } \mathbb{I}(n) = \begin{cases} 1 & \text{si } n < 2 \\ 0 & \text{sinon} \end{cases}$$

- ◀ loi de transition :
- ◀ le Sand Pile Model :

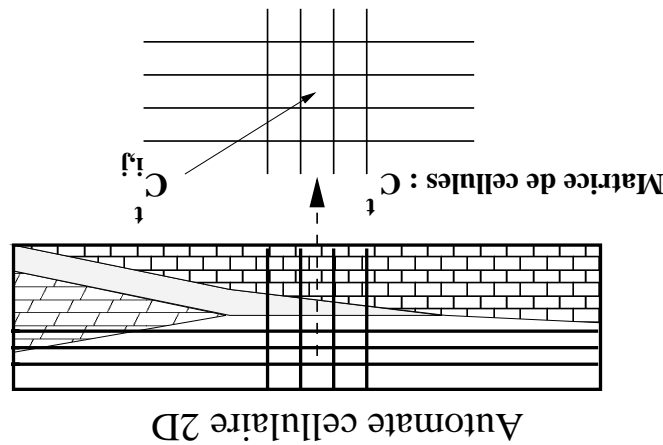
Analogies avec le SPM



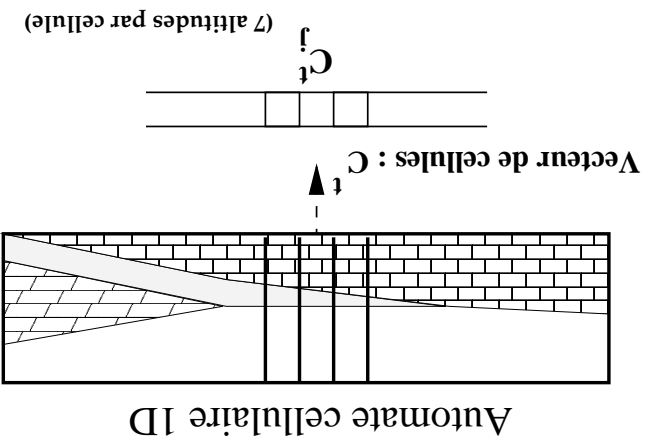
rendus visuels comparés : 

démarche ascendante à base de règles d'interactions locales mutuelles.

étudiée
découpage en blocs de la coupe



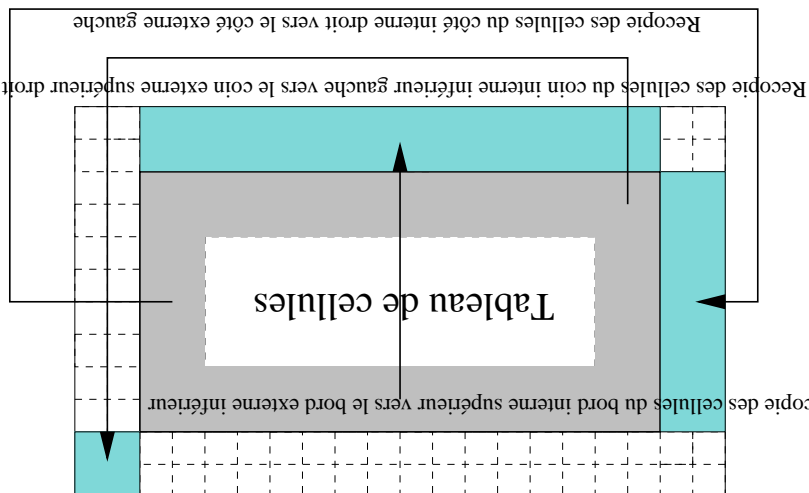
étudiée
découpage en colonnes de la coupe



Les modèles

← **modélisation 2D:** ← **grille régulière de 200000 automates cellulaires fine de 1000 unités de temps, matres cellulaires, laires, état d'une cellule : 7 hauteurs de couches, un coefficient de "marche" correspondant à la coulure, la nature, et un coefficient de "vieillissement", le vieillissement, la "courbure", la "mémoire" et l'altitude de la cellule → nombre fini d'états,**

← 2 voisins, ← 24 voisins (voisinage de Moore courante, ← imbrication de trois "moteurs" étendu), ← correspondant à trois échelles de mécanisme de répllication des cellules des bordures internes singulières temps, ← mécanisme additionnel pour la par un état "frontière" invariant, ← transmission d'une donneé globale (Coff translation),



jusqu'à condition d'arrêt

$C \rightarrow F(CC)$

répéter
replication des bordures de CC

$CC \rightarrow C$

répéter

←algorithme simple 1D

Représentation de $(C_t)_{t \in \mathbb{N}}$ par un "jeu de bascule" entre deux tableaux C et CC.

jusqu'à condition d'arrêt
jusqu'à condition d'arrêt
jusqu'à condition d'arrêt

$C \rightarrow Frapide(CC)$

$CC \rightarrow C$

répéter

$C \rightarrow Fmoyenne(CC, Coeffr)$

$CC \rightarrow C$

répéter

$C \rightarrow Flente(CC, Coeffr)$

$CC \rightarrow C$

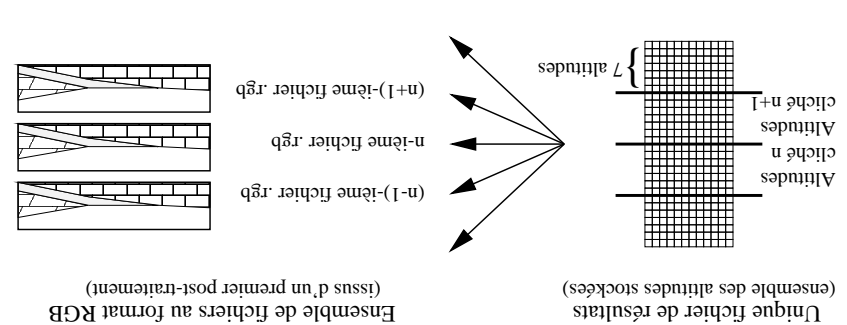
répéter

Cellules du bord intérieur
Cellules du bord extérieur

- 3 „moteurs“ imbridu' es du mod'ele 1D: ↵
- (on les retrouve en 2D „à l'exception de la translation du front de la marge océanique)
- échelle de temps Lent:
 - subduction et g'en'reration des „brisures de pente“, d'égardation et l'érosion de la base de la plaine continentale,
 - émission ou non du signal *Coeff translation*,
 - échelle de temps intermédiaire :
 - translation „eventuelle du front de la marge océanique, nivelllement de la fosse océanique, affaissements de terrain au sein de la plaine continentale, échelle de temps rapide :
 - avalanches superficielles sur la plaine continentale.

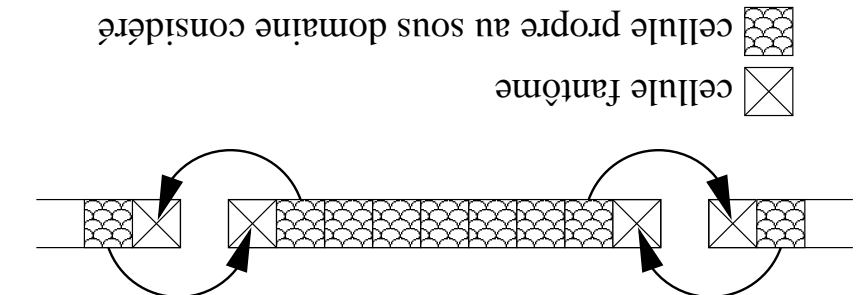
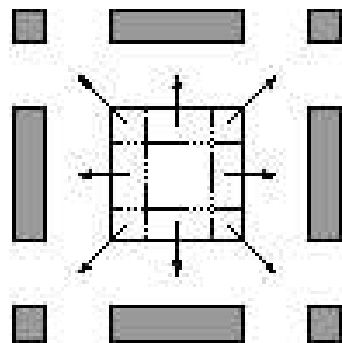
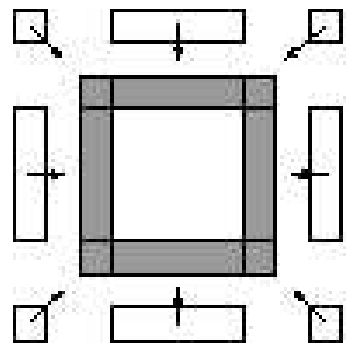
MPG-1 vidéo
convertisson par convexe de fichiers
SunRaster ou Raw au format GIF,
puis assemblage par dmconvext
des images GIF en une animation

Raw \rightarrow GIF \rightarrow MPG



et de bien distinguer les traitements des post-traitements graphiques.
correspond pas à nos besoins.
celle, machine virtuelle avccam et viewer celle view) ne
la plate-forme CelleLuzar (= langage CelleLang, compilateur
de la nécessité de développer nos propres outils...
en 2D

Les simulations

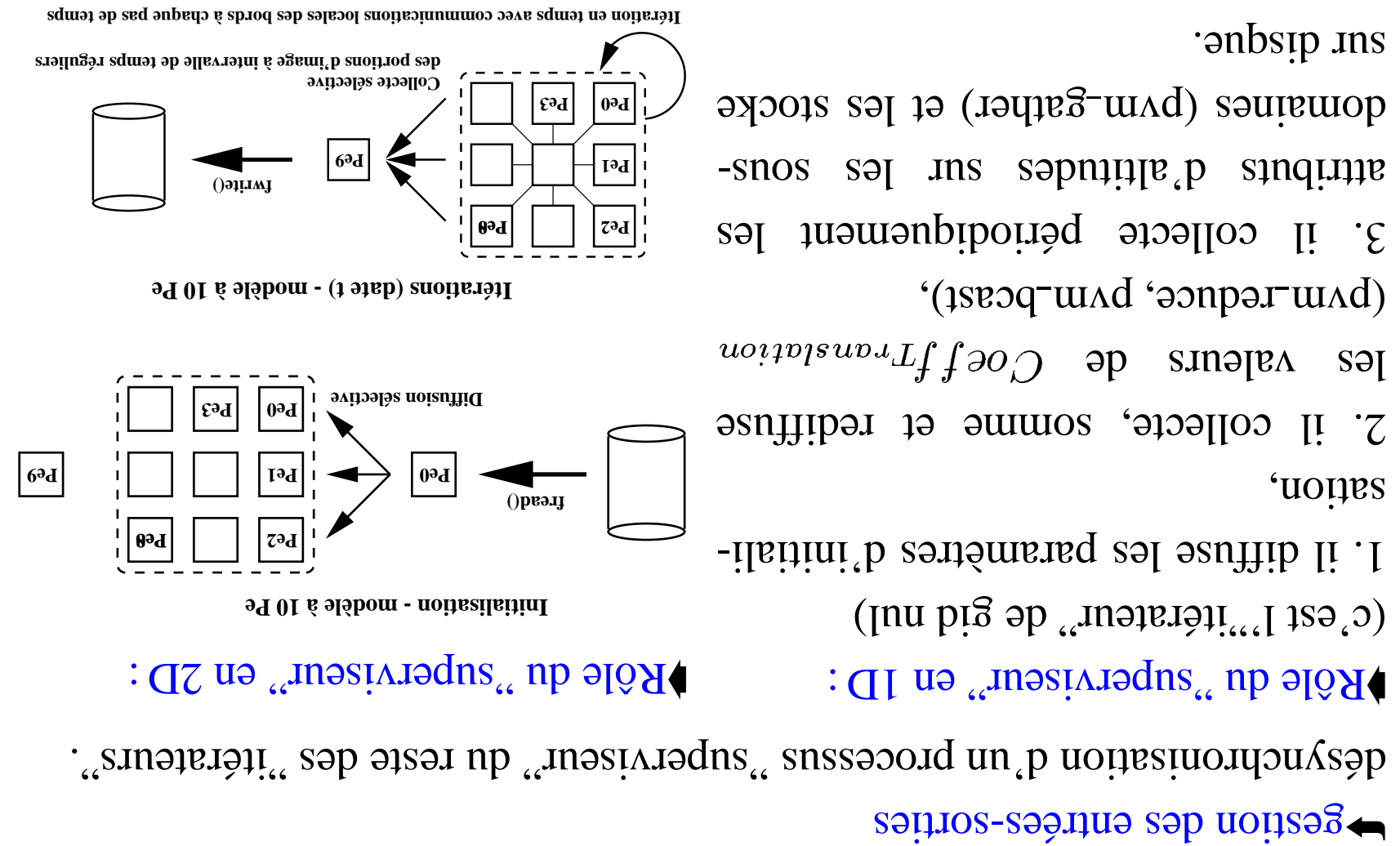


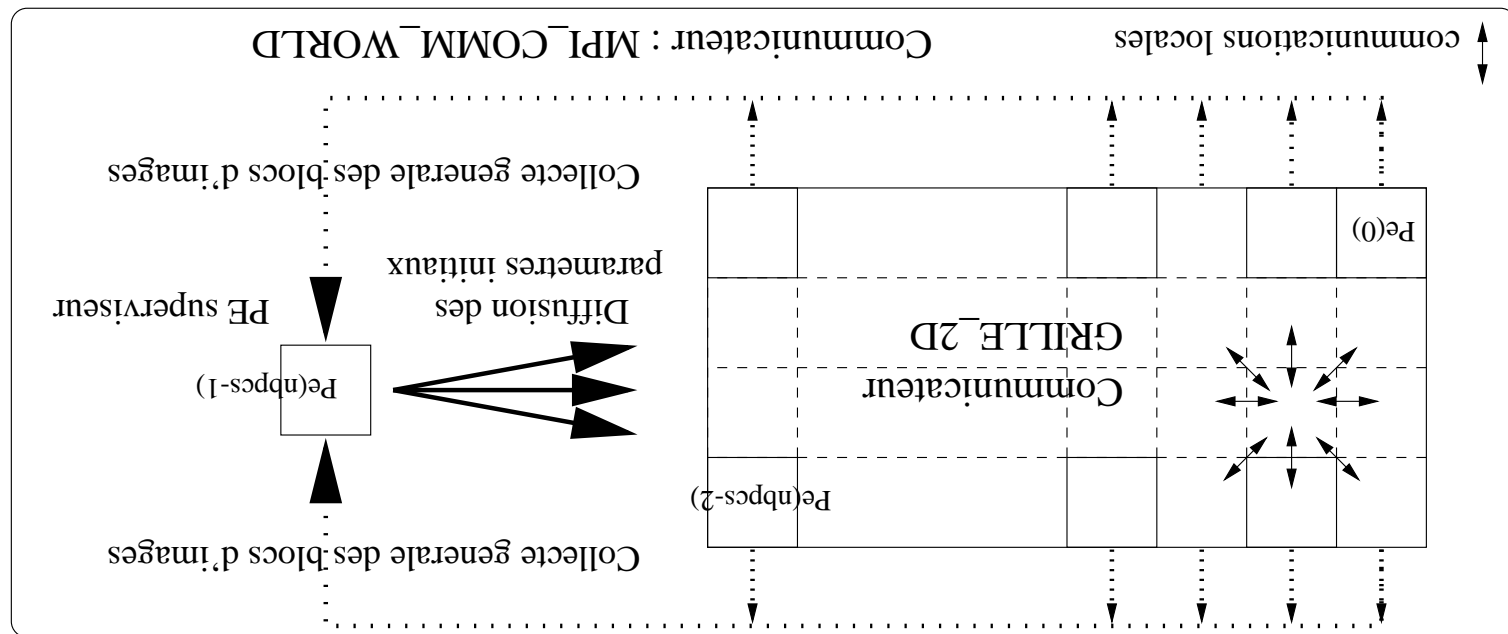
en 2D

en 1D

- ↳ stratégie (commune) d'optimisation parallèle :
- ↳ architectures MIMD (asynchrones, distribuées avec bus ou réseau de communication) - modèle par échange de messages
- ↳ méthode de décomposition de domaine
- ↳ permet une résolution concurrente des sous-problèmes
- ↳ méthode de décomposition de domaine avec recouvrement
- ↳ résoudre le problème du stockage en local d'informations non locales.. .

- algorithmique simple :
 - recouvrir les temps de communication par des temps de calcul,
 - principes communs aux deux fonctions de transition globales :
 - 1. Envoi non bloquant des bordures internes,
 - 2. Mise à jour du sous-domaine (bordures internes et externes exclus),
 - 3. Réception bloquante des bordures externes,
 - 4. Réévaluation des états des bordures internes.
- avec quelques sauvegardes périodiques de la configuration du réseau d'automates cellulaires... .





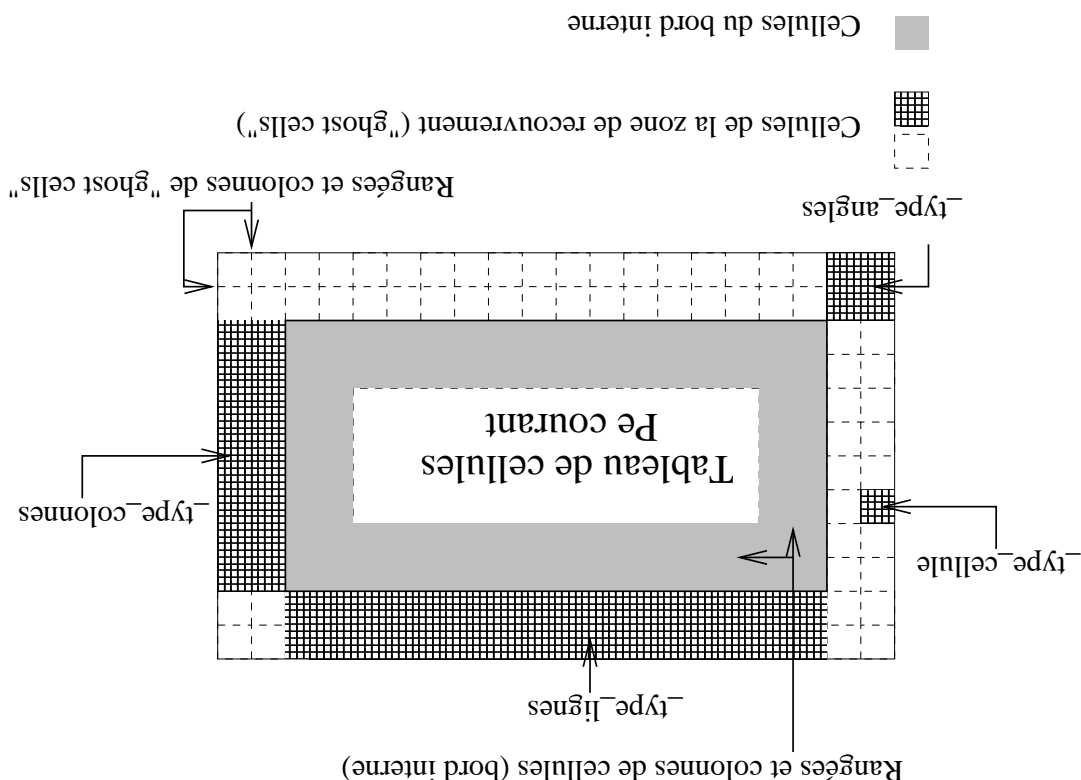
réglière à 2D (`MPI_Cart_create()`)

- Les "itérateurs" sont disposés sur une topologie carteienne virtuelle
- partitionnement de MPI_COMM_WORLD en deux sous-communicateurs,

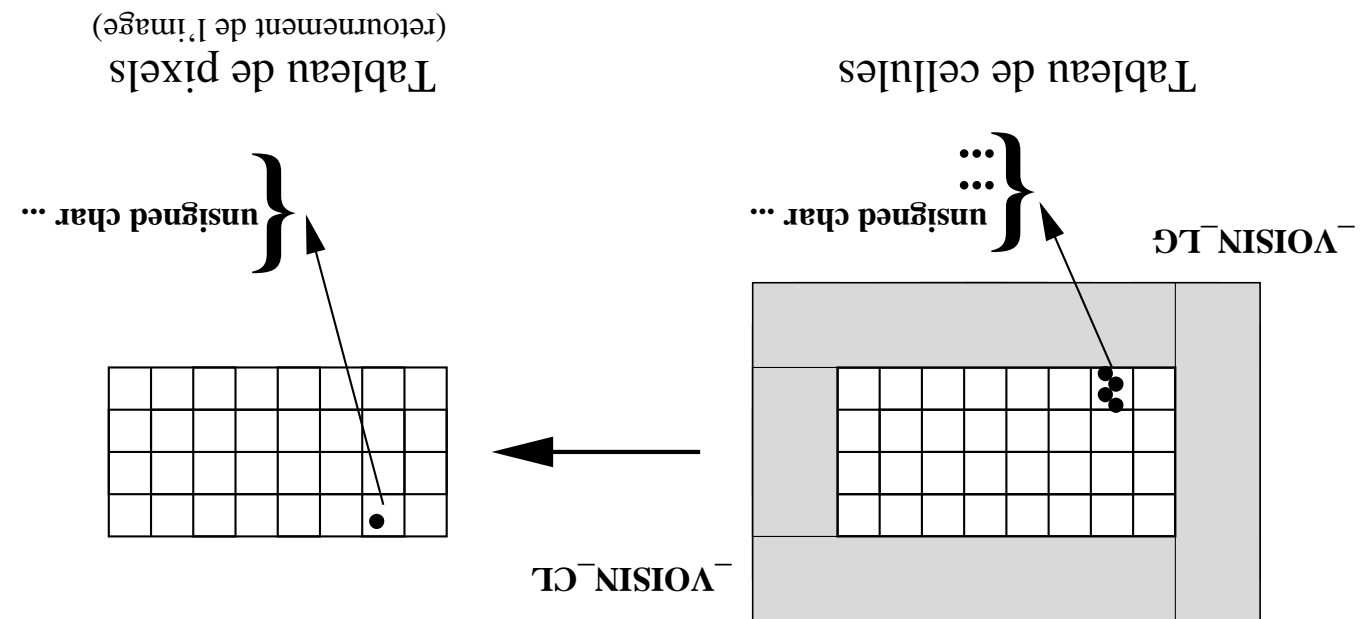
topologie carteienne de processus :

de l'intérêt d'utiliser MPI et non plus PVM.

← **Spécificités de la parallelisation 2D :**



- homogènes vecteurs à pas constant, `MPI_Type_vector()`,
 - les types `-type_lignes`, `-type_angles`, `-type_colonnes` (types de données
 - le type `-type_cellule` (type hétérogène, `MPI_Type_struct()`),
- Types de données dérivés :



Extraction et retournement des pixels d'un Pé duelcondué

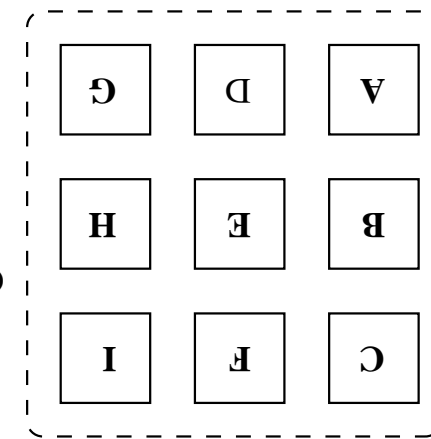
tailles des champs alignés en mémoire obtenues par MPI_Type_Extent()), - cellules est considérée comme un tableau d'octets, MPI_Type_Indexed() - \Rightarrow type MPI_BLOC_Image (type homogène à pas variable où le tableau des champs courants de la configuration courante émission des résultats sur les "itérateurs" : il suffit de récupérer la valeur du

Topologie cartésienne de PE "iterateurs"

PE superviseur

C	F	I
B	E	H
A	D	G

Collecte et "retournement"



Collecte et retournement des blocs d'image sur le superviseur

homogène à pas constant, primitive MPI_Type_Vecotor(),

collecte des résultats sur le "superviseur" : type_image_globe (type

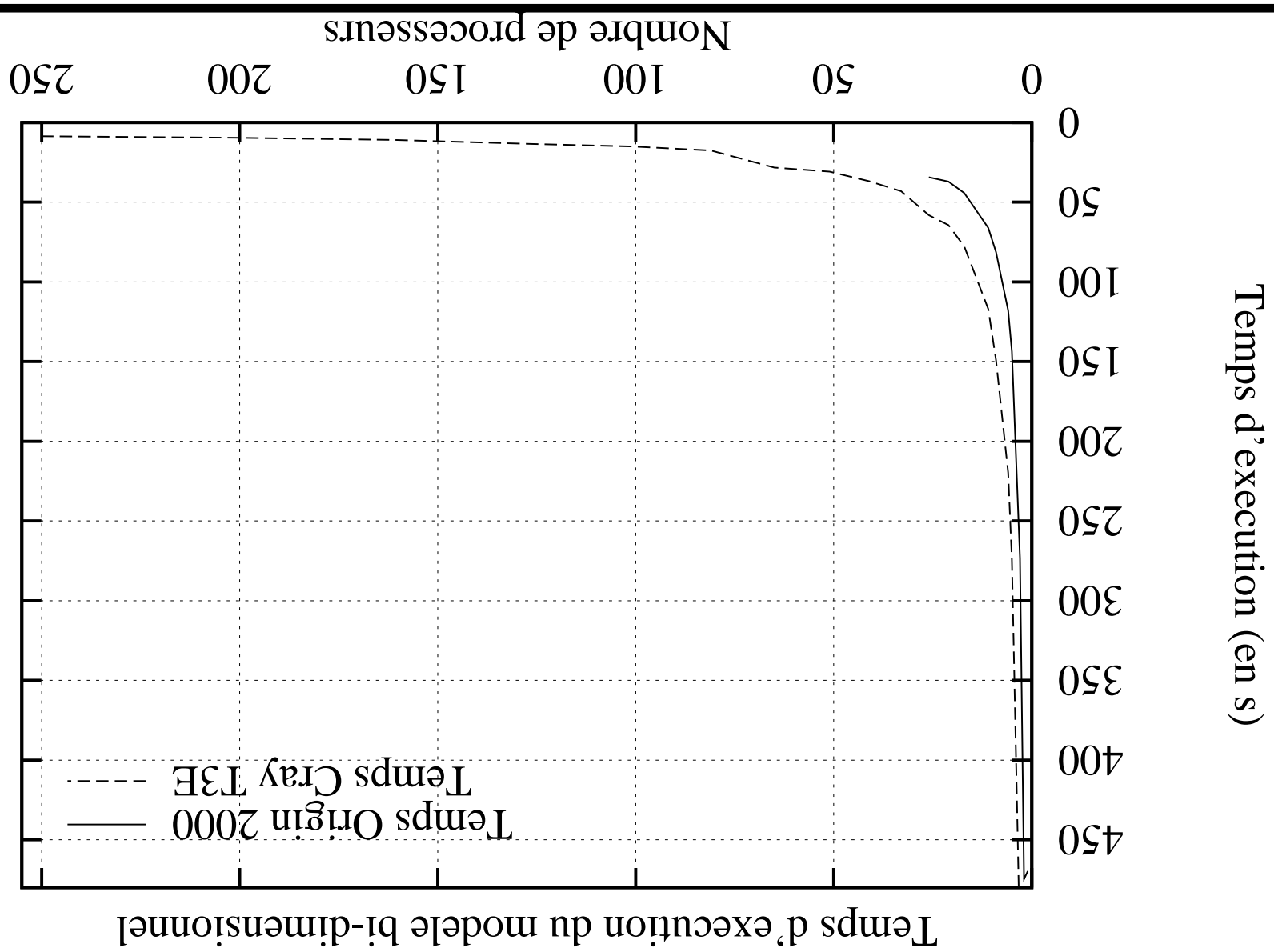
256 DEC Alpha 21164 - 600 MFlop/s, 32 R10000 - 390 MFlop/s,
caches de données de 8 Ko et 96 Ko, caches de données de 32 Ko et 4 Mo,
bande passante : 780 Mo/s, Latence : 773 ns,
Latence : 1 μ s, bande passante : 480 Mo/s,

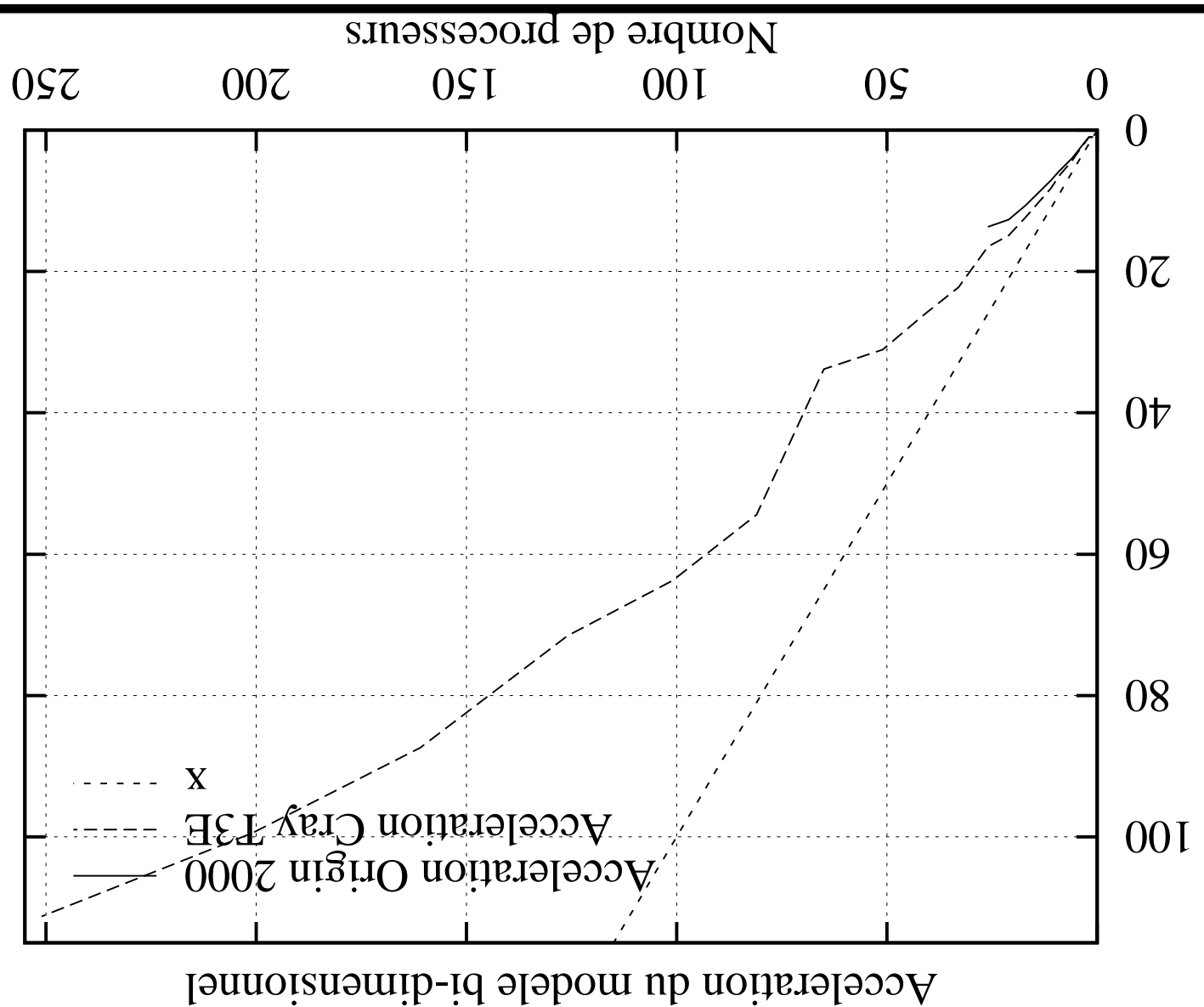


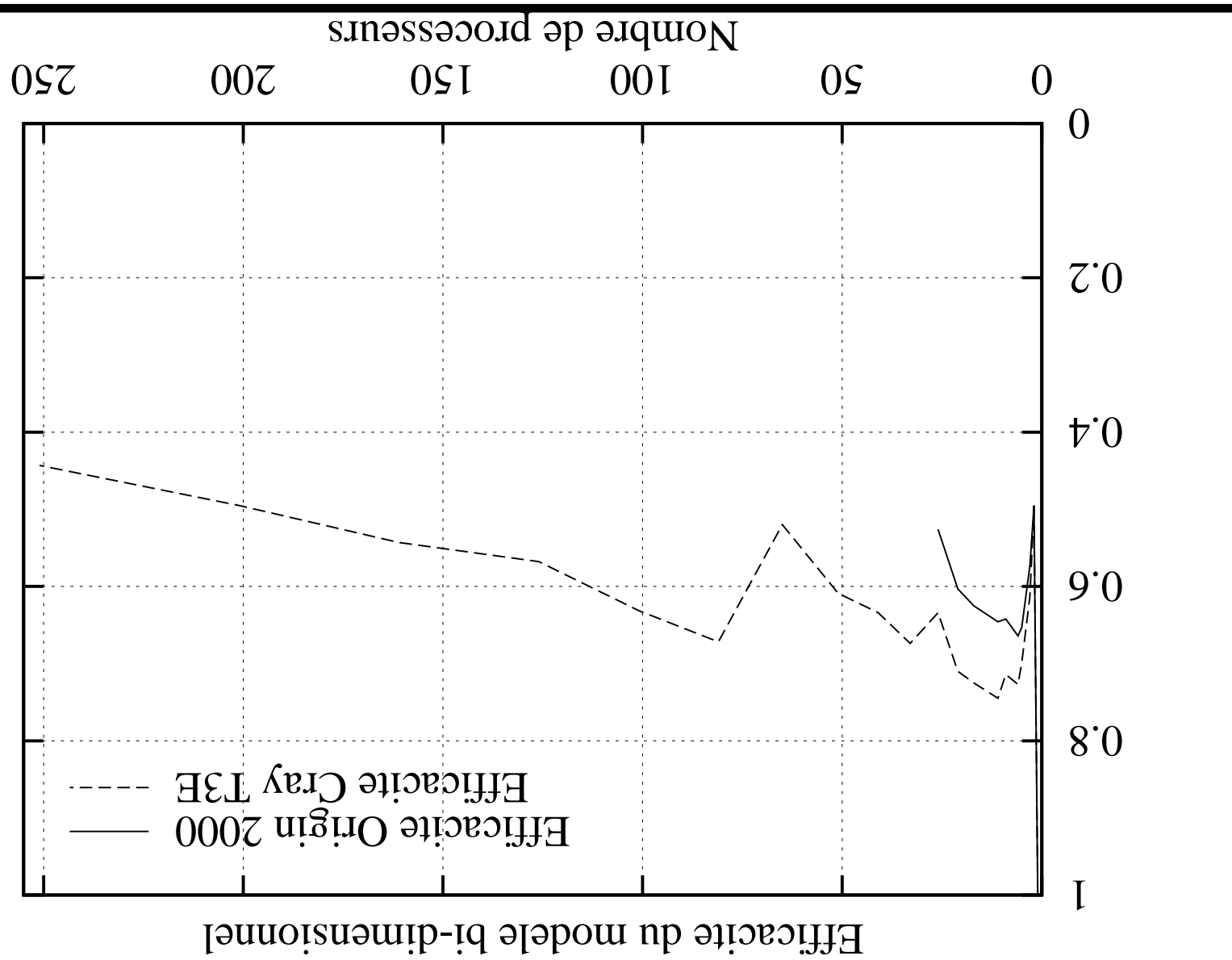
◀ i3ORIGIN 2000 :

◀ Le CRAY T3E :

Results et performances



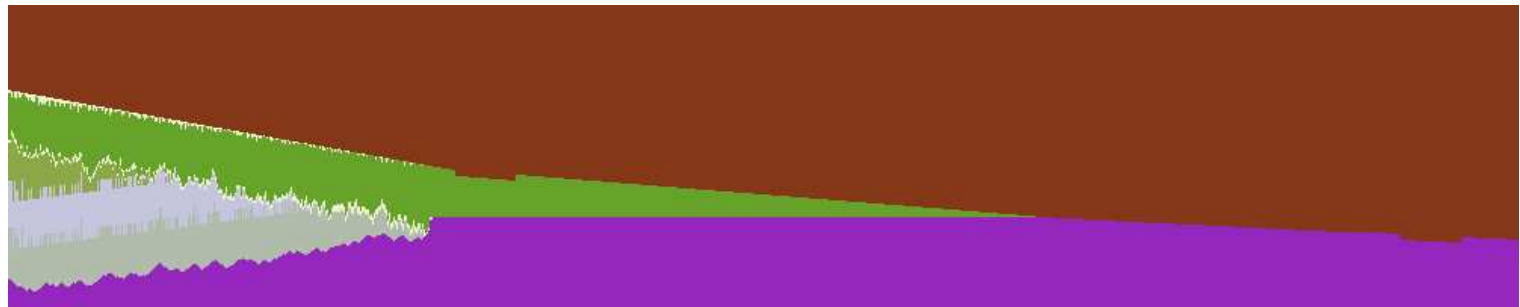




nb proc	Topologies associées (nb de processeurs en ligne * nb de processeurs en colonnes)	Ratios associés (rapport du nb de cellules aux interfaces sur le nb total de cellules d'un sous-domaine)
1	1 * 1	2,35
2	1 * 2	2,74
4	1 * 4	4,23
4	1 * 4	7,78
5	1 * 5	9,45
8	1 * 8	14,14
10	1 * 10	17,00
16	2 * 8	14,48
20	1 * 20	28,86
25	1 * 25	33,60
32	4 * 8	41,15

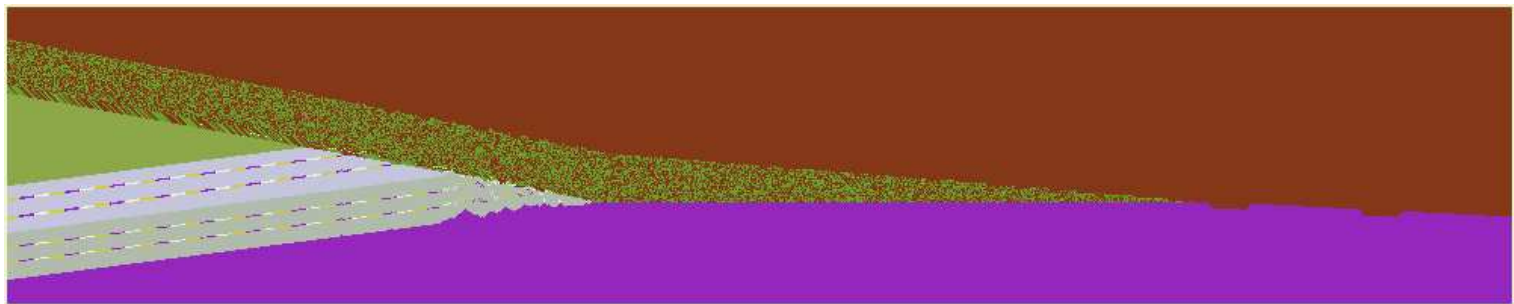
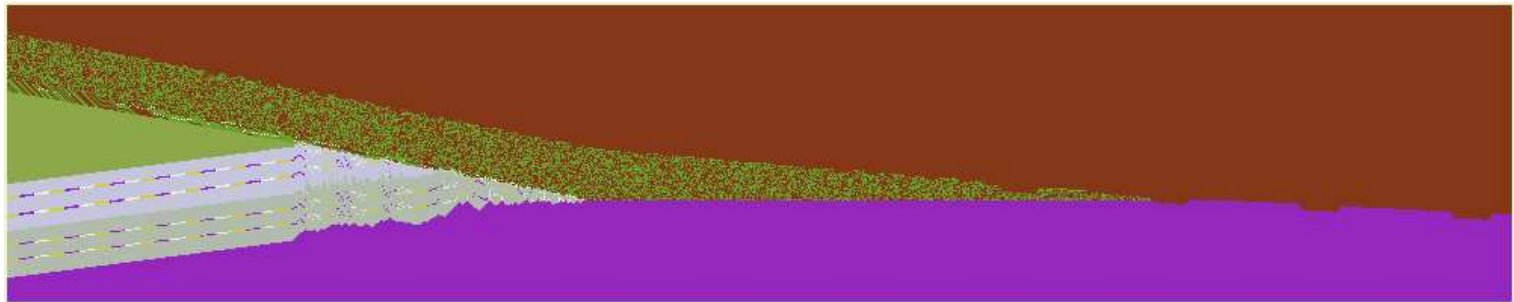
↳ minimiser le ratio taille des interfaces / taille des sous-domaines :

nb proc	Topologies associées (nb de processeurs en ligne * nb de processeurs en colonnes)	Ratios associés (rapport du nb de cellules aux interfaces sur le nb total de cellules d'un sous-domaine)
40	1*40 2*20 4*10 5 * 8 8 * 5 10*4 20*2 40*1	44,67 29,14 17,98 15,48 11,91 10,97 10,97 15,48
50	1*50 2*25 5*10 10*5 25*2 50*1 12,59 18,30	50,20 33,86 18,30 12,59 18,30
64	8 * 8 16,47	
80	2*40 4*20 8*10 10*8 20*4 40*2	44,89 29,70 19,25 17,11 14,27 17,11
100	1 * 2*50 4*25 5*20 10 * 20*5 25*4 50*2	66,80 100 50,40 34,38 29,97 19,87 15,82 19,87
125	5*25 25*5 125* 1 19,87 19,97 15,82 29,97	66,80 100 50,40 34,38 29,97 19,87 15,82 19,87
160	4*40 8*20 20*8 40*4	45,32 30,79 20,18 20,18
200	1 * 2 * 4*50 5*40 8*25 10 * 20 * 25*8 40*5 50*4	80,08 200 100 66,93 50,79 45,53 35,40 31,32 22,84 21,63 22,84
250	5*50 10 * 25 * 10 25*5 125* 2 1 250* 24,24	50,98 35,90 35,90 50,98 50,98 50,98 50,98 31,32 45,53

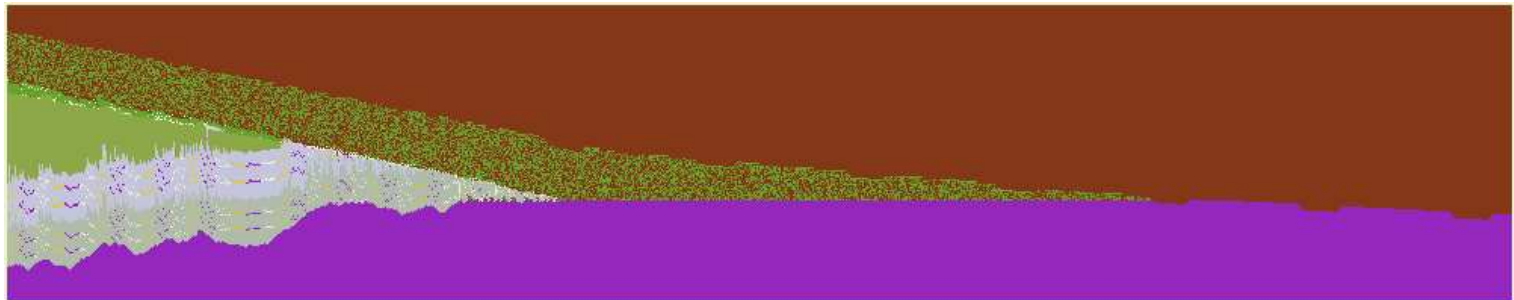
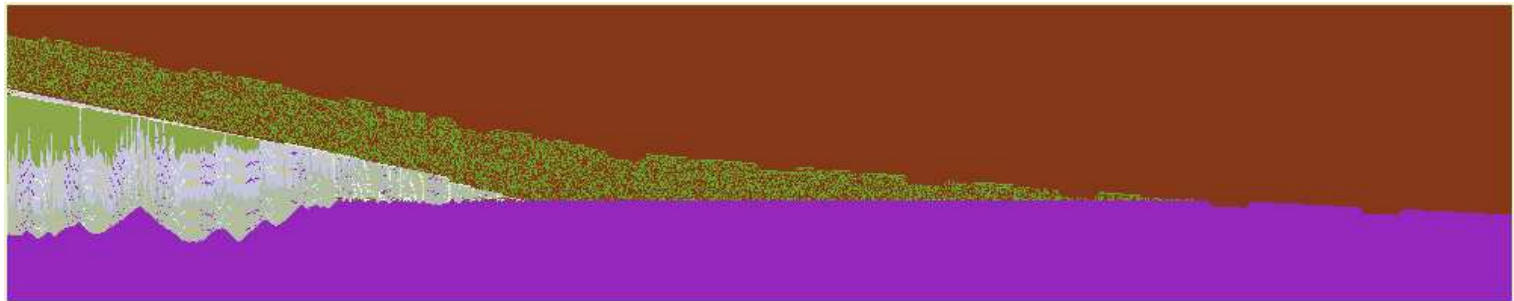
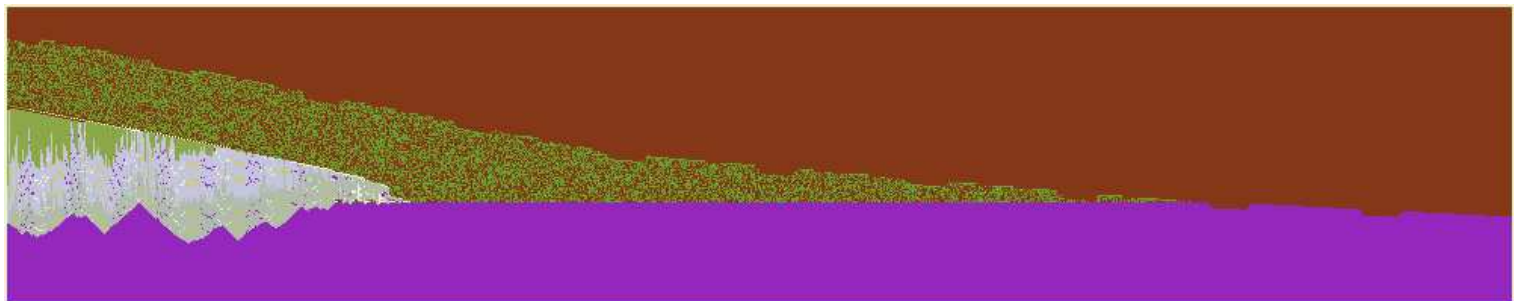


Copies d'écran de la simulation 1D :





Copies d'écran de la simulation 2D :



- ◀ Plate-forme logicielle spécifique LAC, envisager la 3D...
◀ analyser le comportement des simulations,

Evolutions

- ◀ du bon "rendement" du modèle 1D en terme de rendu-visual et de la simulation 2D en terme d'optimisation parallèle,
◀ la 1D intermédiaire facilitant le passage à la 2D,
◀ les vertus de l'approche discrète,
◀ justification de l'intérêt des nombreuses fonctions de MPI,
◀ des simulations à valeur didactique pour l'illustration d'un phénomène géotectonique.

Conclusions